

بهینه‌سازی نقشه حساسیت نسبت به فرسایش آبکندی با استفاده از روش‌های تلفیقی آماری داده محور (مطالعه موردی: حوضه طرود-نجارآباد)

علیرضا عرب عامری^{*}، خلیل رضایی^۲، مجتبی یمانی^۳، کورش شیرانی^۴

۱-دکتری ژئومورفولوژی، دانشگاه تربیت مدرس

۲-استادیار دانشکده علوم زمین، دانشگاه خوارزمی

۳-استاد دانشکده جغرافیا، دانشگاه تهران

۴-استادیار مرکز تحقیقات اصفهان

پذیرش مقاله: ۱۳۹۷/۵/۱۰

تأیید نهایی مقاله: ۱۳۹۷/۱۱/۱۴

چکیده

اولین و کلیدی‌ترین گام در زمینه کاهش خسارات و مدیریت فرسایش خندقی که باعث هدررفت منابع آب و خاک می‌گردد، تهیه نقشه حساسیت فرسایش آبکندی می‌باشد. در پژوهش حاضر پتانسیل وقوع فرسایش آبکندی در حوضه طرود-نجارآباد با استفاده از عدم قطعیت روش نظریه شواهد و رگرسیون چند متغیره خطی و همچنین ترکیب روش-های فوق‌الذکر مورد بررسی و ارزیابی قرار گرفت. به این منظور در ابتدا نقشه موقعیت مکانی خندق‌ها با استفاده از منابع مختلف تهیه گردید و از ۲۱۷ خندق شناسایی شده به طور تصادفی ۷۰ درصد (۱۵۲ خندق) برای مدل‌سازی و ۳۰ درصد (۶۵ خندق) برای اعتبارسنجی در نظر گرفته شد. در گام بعد ۱۴ پارامتر موثر در رخداد خندق در منطقه مطالعاتی شامل پارامترهای توپوگرافیک، ژئومورفومتریک، محیطی و هیدرولوژیک برای مدل‌سازی انتخاب گردید. نتایج روش رگرسیون چند متغیره نشان داد که پارامترهای کاربری اراضی، شب و فاصله از آبراهه بیشترین تاثیر را در رخداد خندق داشته‌اند. نقشه‌های حساسیت تهیه شده به ۵ کلاس حساسیت خیلی کم تا خیلی زیاد گردید. روش‌های مساحت زیر منحنی و شاخص سطح سلول هسته به منظور اعتبار سنجی مورد استفاده قرار گرفت. نتایج صحت سنجی نشان داد که مدل ترکیبی دارای مقدار مساحت زیر منحنی (AUC) بیشتر (۰/۹۳۳) نسبت به مدل‌های نظریه شواهد دمپستر-شفر (۰/۹۱۴) و رگرسیون چند متغیره (۰/۸۹۰) می‌باشد و همچنین مقدار SCAI در مدل ترکیبی از حساسیت خیلی کم به سمت حساسیت خیلی زیاد دارای روند نزولی می‌باشد که بیانگر تفکیک مناسب کلاس‌های حساسیت در این مدل می‌باشد. با توجه به دقت عالی روش ترکیبی ارائه شده در این پژوهش، نتایج این پژوهش می‌تواند مورد استفاده تصمیم‌گیران و مدیران محلی به منظور کاهش خسارات و روش‌شناسی ارائه شده در این پژوهش می‌تواند در مناطق مشابه جهت تعیین مناطق حساس به فرسایش آبکندی مورد استفاده قرار گیرد.

واژه‌های کلیدی: فرسایش آبکندی، عدم قطعیت، رگرسیون چند متغیره، نظریه شواهد دمپستر-شفر، حوضه طرود-نجارآباد.

های عمقی حساس به فرسایش باشند نظیر رسوبات آبرفتی و رسوبات بادرفتی. آبکندهای ۷ شکل در مناطق دارای لایه‌های سطحی حساس به فرسایش و لایه‌های عمقی نسبتاً مقاوم به فرسایش ایجاد می‌گردند. در صورتی که لایه‌های سطحی مقاوم به فرسایش و لایه‌های عمقی در مقابل فرسایش حساس باشند، آبکند ذوزنقه‌ای شکل می‌گیرد (فاسک و همکاران، ۲۰۱۶). با توجه به این که عوامل محیطی مختلفی در ایجاد فرسایش آبکنده موثر می‌باشد، درک و شناخت ارتباط بین این پارامترها و رخداد آبکند و تهیه نقشه حساسیت فرسایش آبکنده یکی از راهکارهای مهم مدیریت منابع آب و خاک محسوب می‌گردد (شیت و همکاران، ۲۰۱۵؛ کانوستی و همکاران، ۲۰۱۳). نقشه حساسیت، سطح زمین را به نواحی ویژه و مجازی از درجات بالفعل یا بالقوه خطر از هیچ تا بسیار زیاد تقسیم می‌کند. این نقشه‌ها به طراحان و مهندسان برای انتخاب مکان مناسب اجرای طرح‌های توسعه و حفاظت از منابع آب و خاک کمک بسیاری زیادی نموده و نتایج اینگونه مطالعات می‌تواند به عنوان اطلاعات پایه جهت کمک به مدیریت و برنامه-ریزی محیطی مورد استفاده قرار گیرد (پرادهان، ۲۰۱۱). با وجود اینکه تاثیر فرسایش آبکنده در تخریب زمین نسبت به انواع دیگر فرسایش آبی چندین برابر می‌باشد، ولی تاکنون تحقیقات کمی در ایران و خارج از کشور در رابطه با تهیه نقشه حسایت فرسایش آبکنده انجام گرفته است. طی دهه‌های اخیر استفاده از روش‌های نوین آماری و داده محور به همراه سامانه اطلاعات جغرافیایی و داده‌های سنجش از دور در زمینه تهیه نقشه حسایت فرسایش خندقی افزایش پیدا کرده است و روش‌های متنوعی مانند شاخص آماری (قربانی نژاد و همکاران، ۱۳۹۶)، جنگل تصادفی

مقدمه

فرسایش خاک توسط آب هر ساله خسارات گسترده‌ای را به انسان‌ها در سراسر جهان وارد می‌کند (عرب عامری و همکاران، ۲۰۱۸a). فرسایش آبی با توجه به اهمیت و نحوه شکل‌گیری به چهار گروه شامل فرسایش پاشمانی، آبراهه‌ای، شیاری و آبکنده قابل تقسیم می‌باشد (گانگ و همکاران، ۲۰۱۱). فرسایش آبکنده مخرب‌ترین شکل فرسایش آبی می‌باشد که در صورت تشديد عوامل وابسته به فعالیت انسان و تغییر در تعادل ژئوسیستمی آن، می‌تواند تبدیل به یک مخاطره گردد. هم‌چنین این نوع فرسایش باعث خسارات زیادی از جمله تخریب اراضی و هدر رفت خاک، کاهش حاصلخیزی خاک، و آسیب رساندن به زیرساخت‌های انسانی مانند جاده و راه‌آهن می‌شود (پورقادسی و همکاران، ۲۰۱۷). از طرف دیگر این پدیده با کوتاه کردن ارتباط بین مناطق بالادست و پایین دست، باعث تشديد تخلیه رواناب سطحی در نتیجه منجر به کاهش تغذیه آبهای زیرزمینی می‌گردد (پوئسن و همکاران، ۲۰۰۳). آبکند یک کanal با کناره‌های دارای شیب تند و یک پیشانی فرسایشی پرشیب و فعل است که بر اثر فرسایش ناشی از جریان سطحی متناوب حاصل از وقوع باران‌های شدید عمدتاً در مناطق خشک و نیمه‌خشک و در دشت‌ها، دشت‌سرها، در شیب‌های کمتر از ۱۵ درجه، که استفاده از زمین و منابع آب غیر اصولی و بیشتر از توان طبیعی محیط باشد، ایجاد می‌گردد (وانگ و همکاران، ۱۶؛ پوئسن و همکاران، ۱۹۹۶ و ۲۰۱۳؛ تجری و کاردل، ۱۳۹۴). آبکندها براساس شکل به سه دسته تقسیم می‌شوند که شامل ۱- آبکندهای U شکل، ۲- آبکندهای ۷ شکل و ۳- آبکندهای ذوزنقه‌ای می‌باشد. آبکندهای U شکل در مناطقی ایجاد می‌گردد که هم لایه‌های سطحی و هم لایه-

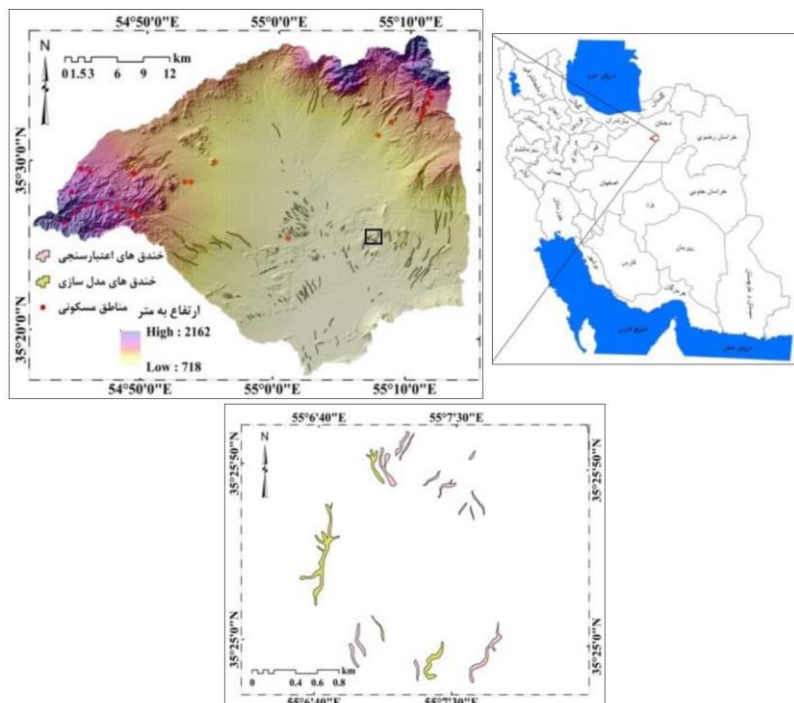
پدیده می‌باشد (عرب عامری و شیرانی، ۱۳۹۵). مهم‌ترین مزیت روش رگرسیون چند متغیره امکان محاسبه رابطه بین یک متغیر وابسته و مجموعه‌ای از متغیرهای مستقل و میزان تاثیر متغیرهای مستقل بر روی متغیرهای وابسته می‌باشد، به گونه‌ای که این روش می‌تواند میزان تاثیر پارامترها را در رخداد یک واقعه مشخص نماید و در مقابل مهم‌ترین نقطه ضعف آن عدم توانایی در محاسبه وزن طبقات و مشخص کردن میزان دخالت آنها در رخداد یک پدیده می‌باشد (شیرانی و همکاران، ۱۳۹۶). حوضه طرود-نجارآباد در استان سمنان که در یک منطقه با اقلیم خشک و نیمه‌خشک قرار گرفته است، به دلیل ویژگی‌های اقلیمی و سنگ‌شناسی دارای حساسیت بالایی نسبت به فرسایش آبکندي می‌باشد. بارندگی در منطقه مطالعاتی به صورت رگباری می‌باشد به گونه‌ای که در بعضی از مواقع نیمی از بارندگی سالیانه منطقه در طول یک روز می‌بارد. شدت بالای بارندگی و فقر پوشش گیاهی باعث کاهش نفوذپذیری گردیده و در نتیجه بیشتر بارندگی تبدیل به رواناب می‌گردد. با توجه به حساسیت بالای لایه‌های سطحی خاک و در بعضی بخش‌ها لایه‌های سطحی و عمقی خاک، این رواناب باعث ایجاد شیار و در مرحله بعد خندق در منطقه مورد مطالعه می‌گردد. فرسایش خندقی در منطقه مطالعاتی هر ساله باعث هدر رفت مقادیر زیادی خاک و همچنین تخریب زیرساخت‌های انسانی مانند جاده می‌گردد. هدف اصلی این پژوهش تعیین مناطق حساس به فرسایش آبکندي و تهیه نقشه حساسیت نسبت به آن با استفاده از داده‌کاوی روش‌های آماری دو متغیره دمپستر-شفر و چند متغیره خطی و تلفیق آنها به منظور ارتقاء قابلیت‌های آنها و مرتفع نمودن معایب آنها می‌باشد.

(اکبری و همکاران، ۱۳۹۶)، دمپستر شیفر (چناری و همکاران، ۱۳۹۵)، فرآیند تحلیل سلسله مراتبی (صفاری و همکاران، ۱۳۹۴)، منطق فازی (شادر، ۱۳۹۳)، ماشین‌های بردار پشتیبان (رحمتی و همکاران، ۲۰۱۷)، رگرسیون لجستیک (دوب و همکاران، ۲۰۱۴)، شواهد وزن قطعی (عرب عامری و همکاران، ۲۰۱۸b)، الگوریتم تجمعی بوستینگ (عرب عامری و همکاران، ۲۰۱۸c)، شاخص آنتروپی (عرب عامری و همکاران، ۲۰۱۸b)، رگرسیون چند متغیره اسپیلانین (کانوستنی و همکاران، ۲۰۱۸)، و نسبت فراوانی (رحمتی و همکاران، ۲۰۱۶) مورد استفاده قرار گرفتند. داده‌کاوی مجموعه‌ای از روش‌ها در فرآیند کشف دانش است که برای تشخیص الگوهای معتبر و رابطه‌های نامعلوم در داده‌ها مورد استفاده قرار می‌گیرد (فیاد و همکاران، ۱۹۹۶). روش‌های آماری به دو دسته دو متغیره و چند متغیره قابل تقسیم می‌باشد. در روش‌های دو متغیره با استفاده از روابط آماری بین طبقات فاکتورهای موثر در رخداد یک پدیده و توزیع فضایی آن پدیده، ارزش وزنی هر یک از طبقات محاسبه می‌گردد (ون وسترن، ۱۹۹۴). و در مقابل در روش‌های چند متغیره وزن مربوط به هر پارامتر محاسبه می‌گردد که بیانگر میزان دخالت آن فاکتور در وقوع یک رخداد می‌باشد، علاوه بر این اثرات متقابل پارامترهای مختلف در وقوع یک رخداد نیز در نظر گرفته می‌شود (سوزن و دیوران، ۲۰۰۴). مهم‌ترین مزایای روش دمپستر-شفر عدم نیاز به داده‌های زیاد، قابلیت استفاده در مقیاس‌های جغرافیایی مختلف، انعطاف‌پذیری و سهولت در ک خروجی مدل در مقایسه با مدل‌های تجربی و فیزیکی می‌باشد، در مقابل مهم‌ترین ضعف این روش عدم محاسبه وزن معیارها و ناتوانی در تعیین میزان تاثیر هر یک از معیارها در وقوع یک

حداقل ۸۸/۷۲ میلی متر در قسمت‌های جنوبی تا حداقل ۲۳۸/۹ میلی متر در قسمت‌های شمالی و غربی منطقه متغیر می‌باشد. از مهم‌ترین سکونتگاه‌های موجود در منطقه مطالعاتی می‌توان به طرود، چشمه سفید، شش، مهابیا، رزووه، چاه موسی، باغ دوست، کلوی، کلاته درویش، سندار، تنگه قلی و سالاران اشاره نمود. ذخایر تراصی و مخروط افکنه‌های کوهپایه‌ای جدید کم ارتفاع مهم‌ترین واحد لیتولوژی موجود در منطقه مطالعاتی می‌باشد که در حدود ۳۲/۲۷ درصد از منطقه مطالعاتی را شامل می‌گردد. ۶۶/۴۷ درصد از منطقه مطالعاتی پوشیده از مرتع می‌باشد. خاک‌های منطقه مطالعاتی عمدتاً از نوع اریدی سول و آنتی سول می‌باشد. ۴۵/۲۸ درصد از منطقه مطالعاتی دارای توپوگرافی هموار، ۳۵/۱۱ درصد مقعر و ۱۹/۶ درصد دارای توپوگرافی محدب می‌باشد.

محدوده مورد مطالعه

حوضه طرود- نجارآباد با مساحت ۱۱۰۳/۵۹ کیلومتر مربع در شمال شرق استان سمنان و در قسمت جنوب شاهروod بین مختصات جغرافیایی "۴۱'۳۸" - "۵۴'۴۴" تا "۵۵'۰" - "۳۵'۰" طول شرقی و "۳۷'۵۴" - "۳۵'۰" تا "۱۷'۳۹" عرض شمالی واقع شده است. ارتفاع منطقه مطالعاتی بین ۷۱۸ تا ۲۱۶۲ متر بالاتر از سطح دریا متغیر می‌باشد و میانگین ارتفاع منطقه ۱۰۱۸ متر می‌باشد. توپوگرافی قسمت‌های مرکزی و جنوبی منطقه هموار با شبیه ملایم می‌باشد در حالی که قسمت‌های شمالی، شمال شرقی و غربی دارای توپوگرافی کوهستانی و تپه ماهوری می‌باشد (شکل ۱). شبیه منطقه بین ۰ تا ۶۶/۸۲ درجه ۴/۶۵ متغیر می‌باشد و میانگین شبیه منطقه درجه می‌باشد که این موضوع بیانگر وجود توپوگرافی هموار با شبیه کم در بیشتر مناطق منطقه می‌باشد. مقادیر بارندگی در منطقه بین

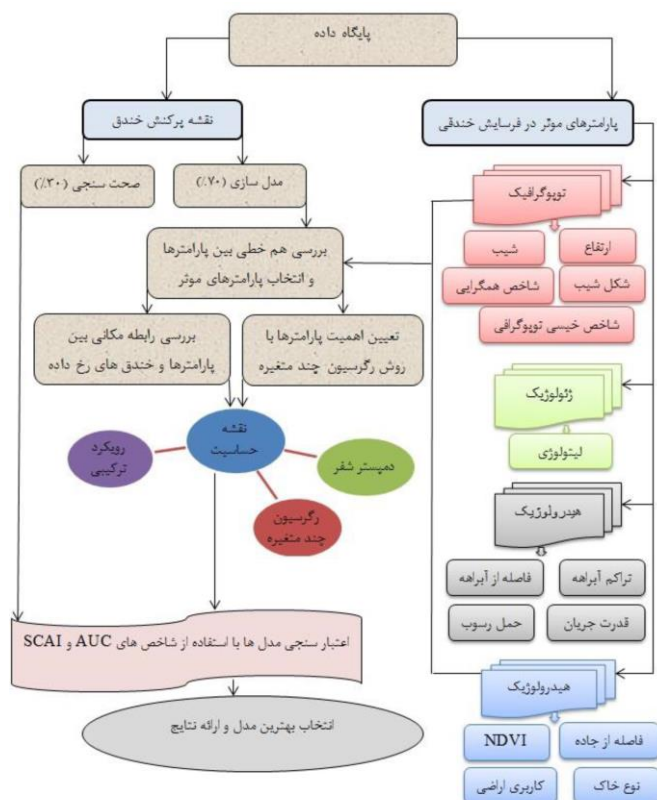


شکل ۱: موقعیت منطقه مورد مطالعه به همراه خندق‌ها

زیر منحنی و شاخص سطح سلول هسته استفاده گردید. به منظور تشکیل پایگاه داده از منابع مختلفی مانند نقشه زمین‌شناسی در مقیاس ۱:۱۰۰۰۰۰، نقشه توپوگرافی در مقیاس ALOS ۵۰۰۰۰:۱، تصاویر لندست، مدل رقومی با قدرت تفکیک مکانی ۳۰ متر، و پیمایش‌های میدانی گسترشده با GPS استفاده گردید.

مواد و روش‌ها

پژوهش حاضر شامل ۳ مرحله اصلی (شکل ۲) می‌باشد که شامل ۱- جمع‌آوری داده‌ها و تشکیل پایگاه داده شامل موقعیت مکانی خندق‌های رخداده در منطقه مطالعاتی و پارامترهای موثر در رخداد خندق، ۲- مدل‌سازی و اجرای مدل‌ها، و ۳- صحبت‌سنجی نتایج و ارائه پیشنهادها. به منظور صحبت‌سنجی نتایج از دو شاخص مساحت



شکل ۲: روش‌شناسی تحقیق

مرکز تحقیقات و آموزش کشاورزی و منابع طبیعی استان اصفهان، استفاده از تصاویر ماهواره‌ای Google Earth و عملیات میدانی گسترشده با استفاده از GPS اقدام به تهیه نقشه پراکنش خندق در منطقه مطالعاتی گردید. در مجموع تعداد ۲۱۸ خندق در منطقه مطالعاتی شناسایی گردید که به‌طور تصادفی ۷۰ درصد (۱۵۴ خندق)

از آنجایی که نتایج مدل‌های داده‌کاوی از داده‌های ورودی به آنها حاصل می‌گردد، دقت و قابلیت اعتماد داده‌های ورودی بسیار مهم می‌باشد (مک‌کلوسکی و همکاران، ۲۰۱۶؛ گیو لیانگ و همکاران، ۲۰۱۷). در این پژوهش با استفاده از گزارشات اولیه، داده‌های خندق مربوط به طرح مرفوکلیماتیک خندق‌ها در بخش حفاظت خاک

پارامتر به منظور مدل‌سازی انتخاب گردید. این ۱۴ پارامتر شامل: ارتفاع، شیب، شکل شیب، شاخص خیسی توبوگرافی (TWI)، شاخص قدرت آبراهه (STI)، شاخص حمل رسوب (SPI)، شاخص همگرایی جریان، فاصله از آبراهه، تراکم آبراهه، کاربری اراضی، شاخص نرمال شده تفاوت پوشش گیاهی (NDVI)، لیتولوزی، نوع خاک، و فاصله از جاده می‌باشد (شکل ۳).

برای مدل‌سازی و ۳۰ درصد (۶۴ خندق) برای اعتبارسنجی در نظر گرفته شد (رحمتی و همکاران، ۲۰۱۶). نمونه‌ای از خندق‌های منطقه مطالعاتی در شکل ۲ نشان داده شده است. به منظور انتخاب پارامترهای موثر در فرسایش آبکنندی از منابع مختلفی مانند مطالعه ادبیات تحقیق، ویژگی‌های محیطی منطقه، و آزمون هم-بستگی خطی استفاده گردید و در نهایت ۱۴



شکل ۳: نمونه‌ای از خندق‌ها در منطقه مطالعاتی. (الف) خندق U شکل، (ب) خندق V شکل

رابطه ۲

$$TWI = In(A_S / \tan\beta)$$

رابطه ۳

$$SPI = A_S \times \tan\beta$$

که در آن A_S مساحت ویژه حوضه (M^2/M) و β گرادیان شیب بر حسب درجه می‌باشد. برای محاسبه فاصله از آبراهه و تراکم آبراهه در ابتدا شبکه آبراهه از مدل رقومی PALSAR در محیط نرم‌افزار Arc Hydro استخراج گردید. بدین منظور آستانه سلولی ۱۰۰ در نظر گرفته شد. پس از استخراج شبکه آبراهه، در محیط نرم‌افزار ArcGIS10.5 فاصله از آبراهه و تراکم آبراهه با استفاده از ابزارهای density و distance محاسبه گردیدند. برای تهیه نقشه کاربری اراضی از تصاویر لندست ۸ در محیط نرم‌افزار ENVI 4.8 استفاده

به منظور تهیه مدل رقومی ارتفاعی از داده‌های فرکانس پایین راداری PALSAR در باند L استفاده گردید و مدل رقومی با قدرت تفکیک ۱۲/۵ متر تهیه گردید. پارامترهای توبوگرافی و ژئومورفومتریک منطقه مطالعاتی مانند ارتفاع، شیب، جهت شیب، شکل شیب، طول شیب، شاخص‌های خیسی توبوگرافی، قدرت جریان، حمل رسوب، و شاخص همگرایی، در محیط نرم افزارهای ArcGIS10.5 و SAGA GIS6.2.0 تهیه گردید. برای محاسبه شاخص‌های ژئومورفومتریک حمل رسوب، خیسی توبوگرافی، و قدرت جریان به ترتیب از روابط ۱ تا ۳ استفاده گردید (مور و همکاران، ۱۹۹۳):

رابطه ۱

$$STI = \left(\frac{A_S}{22.13} \right)^{0.6} \times \left(\frac{\sin\beta}{0.0896} \right)^{1.3}$$

مربوط به سازمان زمین‌شناسی کشور در مقیاس ۱:۱۰۰۰۰۰ رقومی گردید و با توجه به میزان حساسیت آنها به فرسایش به ۱۴ گروه واحد تقسیم گردید. اطلاعات مربوط به واحدهای زمین‌شناسی منطقه مطالعاتی در جدول ۱ نشان داده شده است. لایه نوع خاک از بخش حفاظت خاک مرکز تحقیقات و آموزش کشاورزی و منابع طبیعی استان اصفهان تهیه گردید و به ۵ کلاس طبقه‌بندی گردید. برای محاسبه لایه فاصله از جاده در ابتدا با استفاده از نقشه توپوگرافی به مقیاس ۱:۵۰۰۰۰ و تصاویر Google Earth لایه جاده‌های منطقه مطالعاتی استخراج گردید و در گام بعد در محیط نرم‌افزار ArcGIS10.5 و با استفاده از ابزار distance لایه فاصله از جاده تهیه گردید (جدول ۱) (شکل ۴).

گردید و با استفاده از روش نظارت شده و الگوریتم حداقل شباهت، نقشه کاربری اراضی تهیه گردید. برای صحبت سنگی نقشه تهیه شده از ۲۹۷ نقطه کنترل زمینی استفاده گردید و مقدار ضریب کاپا برای نقشه تهیه شده ۰/۹۷۶ بدست آمد که بیانگر دقیق بالای نقشه تهیه شده می‌باشد. برای محاسبه شاخص نرمال شده پوشش گیاهی از باندهای ۴ (باند قرمز) و ۵ (باند مادون قرمز) تصویر لندست ۸ در محیط نرم‌افزار ArcGIS10.5 استفاده گردید و با استفاده از رابطه ۴ نقشه NDVI محاسبه گردید (ناسا، ۲۰۰۰):

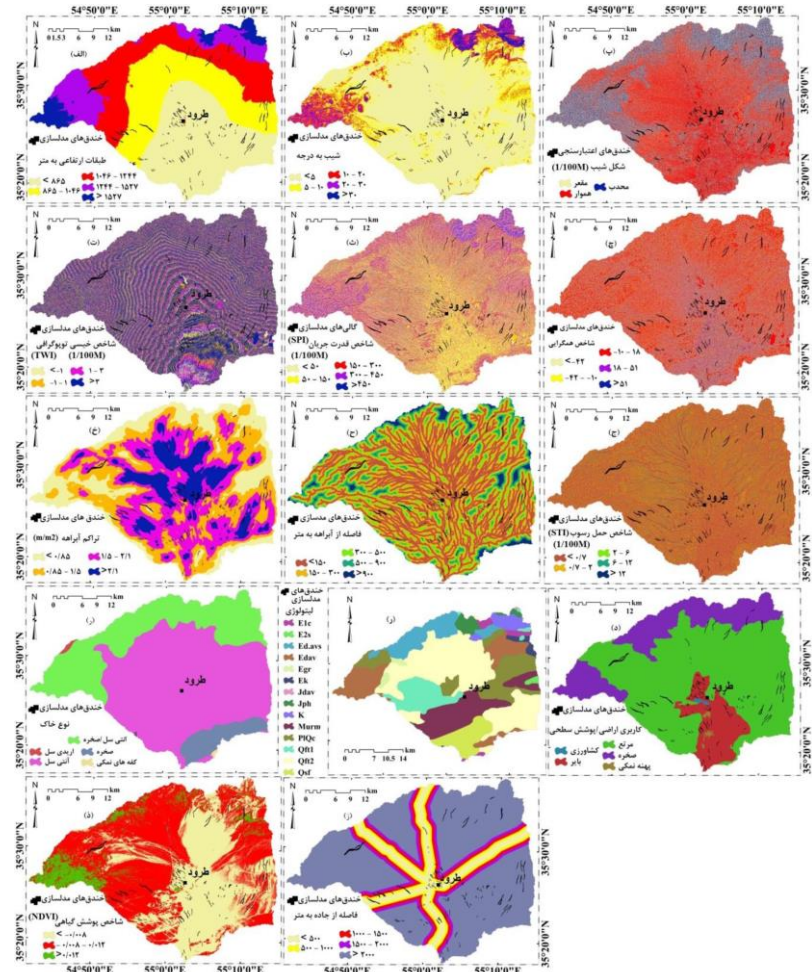
رابطه ۴

$$NDVI = \frac{IR - R}{IR + R}$$

که در آن IR بخش مادون قرمز طیف الکترومغناطیسی و R بخش قرمز طیف الکترومغناطیسی می‌باشد. نقشه سنجش‌نگاری منطقه مطالعاتی با استفاده از نقشه زمین‌شناسی

جدول ۱: ویژگی‌های لیتولوژیک منطقه مطالعاتی

کد	لیتولوژی	عهد	دوران	مساحت
Qft2	ذخایر تراصی و مخروط افکنه های کوهپایه ای جدید کم ارتفاع	کواترنر	سنوزوئیک	355.818
Jph	فیلیت، نمک و ماسه سنگ با منشا دگرگونی(فیلیت همدان)	ژوراسیک	مزوزوئیک	25.090
Jdav	گدازه های آندزیتی	ژوراسیک	مزوزوئیک	0.521
Qft1	ذخایر تراصی و مخروط افکنه های کوهپایه ای قدیمی	کواترنر	سنوزوئیک	93.087
PIQc	کنگلومرای پلی ژنیک سست	پالوسن- کواترنر	سنوزوئیک	135.121
Ek	شیل تیره توف دار با میان لایه هایی از توف (عضو زیرین توف)	اوسن	سنوزوئیک	11.628
K	سنگهای غیر متداول کرتاسه	کرتاسه	مزوزوئیک	30.100
Ed.av_s	رسوبات آتشفسانی آندزیتی	اوسن	سنوزوئیک	93.647
E1c	کنگلومرای پلی ژنیک قرمز و ماسه سنگ	پالوسن- اوسن	سنوزوئیک	15.523
Edav	رسوبات آتشفسانی داسیتی	اوسن	سنوزوئیک	119.986
Murm	مارن و مارن ژیپس دار، با میان لایه های ماسه سنگ	میوسن	سنوزوئیک	139.586
Egr	گرانیت	اوسن	سنوزوئیک	10.214
E2s	ماسه سنگ، مارن و سنگ آهک	اوسن	سنوزوئیک	4.627
Qsf	کفه های نمکی	کواترنر	سنوزوئیک	67.677



شکل ۴: پارامترهای موثر در فرایش آبکندي

همکاران، ۲۰۱۱). به منظور تهیه نقشه حساسیت فرسایش آبکنندی با استفاده از روش نظریه شواهد دمپستر-شفر از روابط ۵ تا ۹ استفاده گردید (میلقاردان و همکاران، ۲۰۱۵؛ اولتینو-ریموند و همکاران، ۲۰۱۵).

$$m(\theta)_{Eij} = 1 - m(S_P)_{Eij} - m(\bar{S}_P)_{Eij}$$

رابطه (۶)

$$m(S_P)_{Eij} = \frac{\lambda(S_P)_{Eij}}{\sum_j \lambda(S_P)_{Eij}}$$

رابطه (٧)

$$m(\overline{S_P})_{Eij} = \frac{\lambda(\overline{S_P})_{Eij}}{\sum_j \lambda(\overline{S_P})_{Eij}}$$

(ابطه،)

$$\lambda(S_P)_{Eij} = \frac{N(L \cap E_{ij}) / N(L)}{N(E_{ij}) - N(L \cap E_{ij}) / N(A) - N(L)}$$

نظریه شواهد دمپستر-شفر

این نظریه در سال ۱۹۶۸ توسط دمپستر در تشریح اصول محاسباتی احتمالات بالایی و پایینی ارائه شد (دمپستر، ۱۹۶۷)، اندکی بعد توسط شافر با تئوری ریاضی باور گسترش یافت (شافر و همکاران، ۱۹۷۶). از مهمترین مزیت‌های نظریه شواهد دمپستر-شفر این است که با استفاده از آن می‌توان عدم قطعیت را بررسی و کمی کرد، به عبارت دیگر این مدل یکی از راههای معنی‌دار اندازه‌گیری مقدار عدم قطعیت در مجموعه متناهی از شواهد به وسیله تابع توزیع احتمال آنها بوده و می‌توان ناسازگاری میان توزیع‌های احتمال منابع شواهد را به وسیله آن بیان نمود (زانگ و

(رابطه ۱۰) و اگر بیش از یک متغیر مستقل باشند
 (رابطه ۱۱) چند متغیره نامیده می‌شوند (محمود آبادی، ۱۳۹۶).

رابطه ۱۰

$$Y = \beta_0 + \beta_1 X_1 + e \quad (11)$$

$$Y = \beta_0 + \beta_1 X_1 + \beta_2 X_2 + \dots + \beta_n X_n + e$$

که در آن Y متغیر وابسته، $X_1 \dots X_n$ متغیرهای مستقل، و $\beta_0 \dots \beta_n$ پارامترهای مدل هستند (محمود آبادی، ۱۳۹۶). در این پژوهش به منظور اجرا و تهیه مدل رگرسیون خطی چند متغیره ابتدا برای هریک از ۱۴ عامل موثر در فرایش آبکنندی براساس حاصل جمع تابع باور و ناباوری مدل دمپستر مقادیر نقشه‌های وزنی کلاس‌های هر عامل از ۱۴ عامل مشخص شد. در مرحله بعد به تعداد نقاط حضور یا رخداد گالی (۲۱۷ رخداد)، نقاط عدم حضور یا عدم رخداد گالی (۲۱۷ عدم رخداد) به صورت تصادفی با استفاده از الگوریتم ArcGIS10.5 Create random Points ایجاد می‌شود. سپس برای هر ۴۳۴ نقشه حضور و عدم حضور (به عنوان متغیر وابسته) مقادیر اوزان تمام ۱۴ لایه وزنی (متغیرهای مستقل) با استفاده از دستور Extract value to point استخراج می‌شود. جدول مقادیر متغیر وابسته و ۱۴ عامل موثر به محیط نرم‌افزار اکسل منتقل می‌شود. فایل تکمیل شده اکسل به محیط نرم‌افزار ۲۴ SPSS برای اجرای روش رگرسیون خطی چند متغیره وارد می‌شود. در محیط SPSS روش رگرسیون خطی چند متغیره با مقادیر ستون حضور و عدم حضور گالی به عنوان متغیر وابسته و مقادیر ستون‌های ۱۴ عامل موثر به عنوان متغیر مستقل در قالب ۴۳۴ تکرار با روش ورود تمام داده‌ها (ENTER) در سطح اطمینان ۹۵ درصد اجرا می‌گردید.

رابطه ۹

$$\lambda(\overline{S_P})_{Eij} = \frac{N(L)-N(L\cap E_{ij})/N(L)}{N(A)-N(L)-N(E_{ij})+N(L\cap E_{ij})/N(A)-N(L)}$$

که در آن E_{ij} بیانگر عدم قطعیت و وزن نهایی مدل می‌باشد و هر چه مقادیر این تابع در کلاس‌ها کمتر باشد بیانگر حساسیت بیشتر آن کلاس می‌باشد، $\lambda(\overline{S_P})_{Eij}$ بیانگر احتمال رخداد فرایش آبکنندی در منطقه (تابع باور)، $\lambda(\overline{S_P})_{Eij}$ بیانگر احتمال عدم رخداد فرایش آبکنندی (تابع ناباوری)، $N(L)$ مساحت کل خندق‌های رخداد در منطقه، $(L \cap E_{ij})/N(L)$ مساحت خندق‌ها در زیرکلاس Z از پارامتر i می‌باشد، $N(A)$ برابر با تعداد کل پیکسل‌ها در منطقه مطالعاتی، $(E_{ij})/N(A)$ تعداد پیکسل‌ها در زیرکلاس Z از پارامتر i می‌باشد. پس از بهدست آوردن وزن نهایی (مقادیر عدم قطعیت) هر یک از زیرکلاس‌ها، این وزن‌ها به لایه‌های اطلاعاتی اضافه و در محیط نرم‌افزار Weighted ArcGIS10.5 و با استفاده از ابزار Sum نقشه‌های وزنی با هم جمع شده و نقشه نهایی بهدست می‌آید. در نقشه نهایی هر چه مقدار وزن‌های بهدست آمده در یک طبقه کمتر باشد بیانگر حساسیت بالاتر آن طبقه نسبت به فرایش می‌باشد.

رگرسیون چند متغیره خطی

تجزیه رگرسیون روشی آماری برای بررسی و مدل‌سازی ارتباط بین متغیرهای است (محمود آبادی، ۱۳۹۶). در مدل‌های رگرسیونی خطی، پارامترهای مدل خطی هستند و الزاماً متغیر وابسته تابع خطی از متغیر مستقل (X) نمی‌باشد. مدل‌های زیادی وجود دارند که متغیر وابسته را به صورت غیر خطی به متغیرهای مستقل ارتباط می‌دهند و تا زمانی که معادله از نظر β ها خطی باشد، با مدل‌های رگرسیون خطی بیان نمود. این مدل‌ها اگر تنها دارای یک متغیر مستقل باشند، ساده

واریانس بیشتر از ۱۰ باشد بیانگر وجود هم خطی بین پارامترها می‌باشد (عرب عامری و همکاران، ۲۰۱۷). نتایج حاصل از تست هم خطی بین پارامترها در جدول ۲ نشان داده شده است. طبق نتایج از بین ۱۹ پارامتر اولیه، پارامترهای جهت شیب، انحنای کلی، فاصله از گسل، انحنای مقطع، و بارندگی دارای هم خطی بوده و در نتیجه از جریان مدل‌سازی حذف و مدل‌سازی با ۱۴ پارامتر انجام گرفت.

نتایج

نتایج آزمون چند خطی

قبل از اجرای روش‌های نظریه شواهد دمپستر-شفر، رگرسیون چند متغیره خطی، و روش ترکیبی انجام آنالیز هم خطی به منظور اجتناب از هم خطی بین پارامترها ضروری می‌باشد. در این پژوهش شاخص‌های ضریب تحمل (TOL) و عامل افزایش واریانس (VIF) برای بررسی هم خطی بین پارامترها مورد استفاده قرار گرفت. در صورتی که ضریب تحمل کمتر از ۰/۱ و عامل افزایش

جدول ۲: تست هم خطی بین پارامترها

پارامتر	تست هم خطی			تست هم خطی		
	پارامترها	عامل افزایش واریانس	ضریب تحمل	پارامتر	عامل افزایش واریانس	ضریب تحمل
مقدار ثابت	-	-	-	شکل شیب	۰/۲۶۷	۳/۷۵
نوع خاک	۰/۵۷۳	۱/۷۴	-	انحنای مقطع	۰/۰۴۱	۱۲/۴
کاربری اراضی	۰/۶۶۰	۱/۵۱	-	بارندگی	۰/۰۷۱	۱۳/۶۹
لیتولوژی	۰/۴۶۰	۲/۱۷	-	فاصله از جاده	۰/۳۳۷	۲/۹۶
جهت شیب	۰/۰۸۹	۱۱/۱۲	-	شیب	۰/۲۳۱	۴/۳۲
انحنای کلی	۰/۰۲۶	۱۳/۷۶	-	SPI	۰/۷۷۳	۱/۲۹
تراکم آبراهه	۰/۴۹۲	۲/۰۳	-	STI	۰/۷۷۷	۱/۲۸
فاصله از آبراهه	۰/۷۴۵	۱/۳۴	-	TWI	۰/۸۹۴	۱/۱۱
فاصله از گسل	۰/۰۶۰۲	۱۴/۹۵	-	شاخص همگرانی	۰/۶۹۲	۱/۴۴
NDVI	۰/۵۰۸	۱/۹۶	-	ارتفاع	۰/۷۵۴	۱/۳۲

گالی در منطقه مورد مطالعه داشته‌اند. جدول ۳ نتایج نهایی حاصل از تجزیه و تحلیل آماری به دست آمده با $R^2 = 0.71$ در سطح اطمینان ۹۹ درصد را نشان می‌دهد.

نتایج حاصل از روش چندمتغیره خطی: با توجه به نتایج حاصل از تجزیه و تحلیل رگرسیون چند متغیره، برای تمامی عوامل ضریب معنی‌داری بالاتر از ۹۵ درصد به دست آمد که نشان دهنده آن است که از نظر آماری رابطه قوی با رخداد

جدول ۳: ضریب همبستگی مدل آماری رگرسیون چند متغیره

Model	Change Statistics				
	R Square Change	F Change	df1	df2	Sig. F Change
رگرسیون چند متغیره	۰/۷۱۳	۱۲/۶۹	۱۵	۴۱۷	۰/۰۰۰

کاربری اراضی، شیب و فاصله از آبراهه با کسب امتیازات (۰/۴۸۸، ۰/۱۴۱ و ۰/۱۲۴) بیشترین تاثیر را در وقوع فرسایش آبکنندی در منطقه مطالعاتی داشته‌اند که با نتایج تحقیقات (چناری و همکاران، ۱۳۹۵؛ صفاری و همکاران، ۱۳۹۴؛ دوب

همچنین ضرایب یا به عبارت دیگر اوزان هر متغیر مستقل در قالب جدول ۴ مشخص گردید. همان‌طور که در جدول ۴ نشان داده شده است سطح اطمینان تمام عوامل موثر بالاتر از ۹۵ درصد می‌باشد. طبق نتایج حاصل از جدول ۴ پارامترهای

جاده در رتبه‌های ۴ تا ۱۴ قرار گرفته‌اند. بدین ترتیب با توجه به ضرایب جدول ۴ رابطه ۱۲ برای محاسبه شاخص حساسیت نسبت به فرسایش آبکندي تعیین گردید:

و همکاران، ۲۰۱۴؛ رحمتی و همکاران، ۲۰۱۶ مطابقت دارد. پارامترهای شکل شبیه، جنس خاک، شاخص همگرایی، SPI، تراکم آبراهه، شاخص حمل رسوب، شاخص خیسی توپوگرافی، NDVI، سنگ‌شناسی، طبقات ارتفاعی و فاصله از

جدول ۴: نتایج تجزیه تحلیل آماری رگرسیون چند متغیره

پارامتر	علامت	معنی داری ضرایب	پارامتر	علامت	معنی داری ضرایب
فاصله از جاده	X _{rod}	-0/152	SPI	X _{spi}	0/018
طبقات ارتفاعی	X _{hypso}	-0/102	شاخص همگرایی	X _{convergenc}	0/029
سنگ‌شناسی	X _{lith}	-0/082	جنس خاک	X _{soil}	0/035
NDVI	X _{NDVI}	-0/019	شبک شبیه	X _{Plncurv}	0/056
TWI	X _{twi}	-0/015	فاصله از آبراهه	X _{dri}	0/124
STI	X _{sti}	-0/013	شبیه	X _{slo}	0/141
تراکم آبراهه	X _{drndens}	-0/002	کاربری اراضی	X _{jus}	0/488
					0/000

(۱۲ رابطه)

$$Y_{gully} = (-0.152 \times X_{rod}) + (-0.102 \times X_{hypso}) + (-0.082 \times X_{lith}) + (-0.019 \times X_{NDVI}) + (-0.015 \times X_{twi}) + (-0.013 \times X_{sti}) + (-0.02 \times X_{drndens}) + (0.018 \times X_{spi}) + (0.029 \times X_{convergence}) + (0.035 \times X_{soil}) + (0.056 \times X_{Plncurv}) + (0.124 \times X_{dri}) + (0.141 \times X_{slo}) + (0.488 \times X_{jus})$$

استفاده از روش نظریه شواهد دمپستر- شفر منطقه مطالعاتی در جدول ۵ نشان داده شده است. هر چه مقدار عدم قطعیت در طبقات کمتر باشد بیانگر اهمیت بیشتر آن در رخداد فرسایش آبکندي می‌باشد. طبق نتایج جدول ۵، براساس پارامتر لیتوژئی، واحد E2s (ماشه سنگ، مارن و سنگ آهگ) با کمترین میزان عدم قطعیت (۰/۶۷۳) بیشترین ارتباط را با رخداد خندق در منطقه مطالعاتی داشته است. ارتباط آماری بین نوع خاک و رخداد خندق نشان داد که مناطق با خاک‌های از نوع اریدی سل و انتی سل دارای حساسیت بالایی نسبت به فرسایش می‌باشند به گونه‌ای که دارای کمترین مقدار عدم قطعیت (۰/۳۲۷) می‌باشند. نتایج مدل نظریه شواهد دمپستر-شفر نشان داد که براساس پارامتر شاخص قدرت جریان، کلاس بیشتر از ۴۵۰ با کمترین مقدار عدم قطعیت (۰/۵۱۷) بیشترین ارتباط را با

که در آن Y_{gull} عامل متغیر وابسته حساسیت نسبت به فرسایش آبکندي و ۱۴ متغیر مستقل (X) عوامل موثر مطابق با جدول ۴ می‌باشند. بعد از به دست آمدن رابطه ۱۲، این رابطه در محیط ArcGIS10.5 بر روی ۱۴ عامل موثر اعمال گردید و سپس نقشه به دست آمده از نظر حساسیت به فرسایش آبکندي به پنج کلاس از خطر بسیار کم تا بسیار زیاد براساس نقاط شکست طبیعی فراوانی پیکسل‌ها (توزیع آماری فراوانی پیکسل‌ها نرمال می‌باشد) تقسیم‌بندی گردید. شکل ۷ الف نقشه پهنه‌بندی خطر فرسایش آبکندي حوضه طرود-نجارآباد با استفاده از روش رگرسیون چند متغیره خطی را نشان می‌دهد.

نتایج حاصل از روش دو متغیره نظریه شواهد دمپستر-شفر

نتایج حاصل از رابطه آماری بین پارامترهای موثر در فرسایش آبکندي و خندق‌های رخ داده با

کمترین مقدار عدم قطعیت (0.320) دارای بیشترین حساسیت نسبت به فرسایش آبکندي می‌باشند و سطوح هموار با عدم قطعیت (0.334) در رتبه دوم قرار دارد که این نتایج با نتایج تحقیقات (رحمتی و همکاران، 2016 ؛ کافورتی و همکاران، 2010) مطابقت دارد. طبق نتایج پارامتر فاصله از جاده، کلاس $1500-1000$ متر با کمترین مقدار عدم قطعیت (0.538) بیشترین مقدار همبستگی را با رخداد فرسایش آبکندي نسبت به بقیه کلاس‌ها داشته است و در مقابل کلاس 1500 تا 2000 متر با بیشترین مقدار عدم قطعیت (0.633) کمترین تاثیر را در رخداد خندق داشته‌اند. بر اساس پارامتر شیب، مناطق با شیب‌های 5 تا 10 درجه بیشترین پتانسیل برای وقوع فرسایش آبکندي را داشته‌اند و در مقابل با افزایش مقدار شیب، مقادیر عدم قطعیت نیز افزایش پیدا کرده است به گونه‌ای که مناطق با شیب‌های بیشتر از 30 درجه دارای بیشترین مقدار عدم قطعیت می‌باشند (0.793) و در نتیجه احتمال رخداد خندق در این مناطق از بقیه مناطق کمتر می‌باشد. این نتایج با نتایج تحقیقات (تجربی و کاردل، 1394) مطابقت دارد. طبق نتایج حاصل از کاربری اراضی، زمین‌های بایر با کمترین مقدار عدم قطعیت (0.278) بیشترین پتانسیل برای ایجاد خندق را دارا می‌باشند و در مقابل زمین‌های کشاورزی با بیشترین میزان عدم قطعیت (0.774) در مقایسه با دیگر کلاس‌ها در مقابل ایجاد فرسایش آبکندي مقاومتر می‌باشند که این موضوع بیانگر نقش پوشش گیاهی در حفاظت خاک در مقابل فرسایش آبی می‌باشد. براساس پارامتر شاخص حمل رسوب، کلاس 70 تا 85 کمترین مقدار عدم قطعیت (0.650) دارای بیشترین احتمال رخداد فرسایش آبکندي می‌باشد و در نهایت براساس پارامتر شاخص همگرایی،

خندق‌های منطقه مطالعاتی داشته است. براساس پارامتر شاخص خیسی توپوگرافی، کلاس >3 با عدم قطعیت کمتر نسبت به بقیه کلاس‌ها (0.356) دارای احتمال بیشتر فرسایش آبکندي نسبت به بقیه کلاس‌ها می‌باشد. براساس پارامتر طبقات ارتفاعی، کلاس $1046-1244$ بیشترین ارتباط را با رخداد فرسایش آبکندي داشته‌اند و در مقابل طبقات ارتفاعی بالاتر از 1527 متر با بیشترین مقدار عدم قطعیت (0.788) کمترین تاثیر را در وقوع فرسایش آبکندي داشته است که با نتایج تحقیقات تجربی و کاردل 1394 مطابقت دارد. براساس نتایج پارامتر تراکم آبراهه، کلاس کمتر از 0.85 متر در متر مربع، با کمترین مقدار تراکم آبراهه دارای بیشترین مقدار عدم قطعیت (0.629) بوده و در نتیجه کمترین تاثیر را در وقوع فرسایش آبکندي داشته است که با نتایج رحمتی و همکاران (2016) مطابقت دارد. براساس پارامتر فاصله از آبراهه هر چه فاصله از آبراهه بیشتر می‌شود مقدار عدم قطعیت نیز افزایش پیدا می‌کند، به عبارت دیگر با افزایش فاصله از آبراهه، احتمال رخداد فرسایش آبکندي کاهش پیدا می‌کند که این موضوع بیانگر نقش قابل توجه آبراهه در رخداد فرسایش آبکندي می‌باشد که با نتایج تحقیقات کانوستی و همکاران (2014) مطابقت دارد. نتایج عدم قطعیت حاصل از پارامتر تفاضل نرمال شده پوشش گیاهی نشان داد که با افزایش مقادیر NDVI، مقادیر عدم قطعیت نیز افزایش پیدا می‌کند به گونه‌ای که در کلاس بیشتر از 12 ، با بیشترین مقدار NDVI دارای بیشترین مقدار عدم قطعیت (0.394) می‌باشد که این موضوع بیانگر نقش پوشش گیاهی در کاهش احتمال فرسایش آبکندي می‌باشد که با نتایج تحقیقات اگنسی و همکاران (2011) مطابقت دارد. براساس پارامتر شکل شیب، سطوح مقرر با

ArcGIS10.5 به نقشه‌ها اضافه گردید و با استفاده از رابطه ۱۳ و ابزار Weighted Sum نقشه حساسیت فرسایش آبکنندی با روش نظریه شواهد دمپستر-شفر حاصل گردید و براساس شکستهای طبیعی به ۵ کلاس شامل حساسیت خیلی زیاد، تا خیلی کم طبقه‌بندی گردید (شکل ۷ ب).

۱۴ نقشه حساسیت فرسایش آبکنندی با رویکرد ترکیبی حاصل گردید و براساس شکستهای طبیعی به ۵ کلاس شامل حساسیت خیلی زیاد، زیاد، متوسط، کم و خیلی کم طبقه‌بندی گردید (شکل ۷ پ).

کلاس کمتر از ۴۲- با کمترین مقدار عدم قطعیت (۰/۵۷۴) دارای بیشترین تاثیر در وقوع فرسایش آبکنندی در منطقه مطالعاتی بوده است. پس از تعیین ارتباط بین پارامترهای موثر و خندق‌های رخ داده در منطقه مطالعاتی، وزن‌های هر یک از کلاس‌ها در محیط نرم‌افزار رابطه (۱۳)

$$\begin{aligned} SESM &(\text{elevation}_{m(\Theta)}) + (\text{lithology}_{m(\Theta)}) + (\text{slope degree}_{m(\Theta)}) + \\ &(\text{plan curvature}_{m(\Theta)}) + (\text{distance to stream}_{m(\Theta)}) + (\text{NDVI}_{m(\Theta)}) + (\text{SPI}_{m(\Theta)}) + \\ &(\text{TWI}_{m(\Theta)}) + (\text{STI}_{m(\Theta)}) + (\text{soil type}_{m(\Theta)}) + (\text{drainage density}_{m(\Theta)}) + \\ &(\text{convergence index}_{m(\Theta)}) + (\text{land use}_{m(\Theta)}) + (\text{distance to road}_{m(\Theta)}) \end{aligned}$$

مدل تلفیقی حاصل از روش دو متغیره نظریه

شواهد دمپستر-شفر و چندمتغیره خطی پس از تعیین وزن معیارها با استفاده از روش رگرسیون چند متغیره و وزن کلاس‌های عوامل با روش نظریه شواهد دمپستر-شفر، به منظور افزایش کارایی مدل‌ها و برطرف کردن معایب آنها اقدام به ترکیب آنها گردید و با استفاده از رابطه

(۱۴)

$$\begin{aligned} GESM = & (-0.152 \times \text{distance to road}_{m(\Theta)}) + (-0.102 \times \text{elevation}_{m(\Theta)}) + (-0.082 \times \\ & \text{lithology}_{m(\Theta)}) + (-0.019 \times \text{NDVI}_{m(\Theta)}) + (-0.015 \times \text{TWI}_{m(\Theta)}) + (-0.013 \times \\ & \text{STI}_{m(\Theta)}) + (-0.02 \times \text{drainage density}_{m(\Theta)}) + (0.018 \times \text{SPI}_{m(\Theta)}) + (0.029 \times \\ & \text{convergence index}_{m(\Theta)}) + (0.035 \times \text{soil type}_{m(\Theta)}) + (0.056 \times \text{plan curvature}_{m(\Theta)}) + \\ & (0.124 \times \text{distance to stream}_{m(\Theta)}) + (0.141 \times \text{slope degree}_{m(\Theta)}) + (0.488 \times \\ & \text{land use}_{m(\Theta)}) \end{aligned}$$

حساسیت خیلی کم تا خیلی زیاد می‌باشد (شکل ۶). براساس شکل ۶ در روش ترکیبی از کل مساحت خندق‌های مدل‌سازی، ۳۰/۷۷ درصد در کلاس حساسیت خیلی زیاد، و ۵۴/۳۹ درصد در کلاس حساسیت زیاد قرار گرفته است و در مقابل ۰/۲۰۵ درصد در کلاس حساسیت خیلی کم و ۳/۷۵ درصد در کلاس حساسیت کم قرار گرفته است، به عبارت دیگر ۸۵/۱۷ درصد از مساحت گالی‌های مدل‌سازی در کلاس حساسیت زیاد و خیلی زیاد قرار گرفته است که این مقدار برای روش نظریه شواهد دمپستر-شفر و رگرسیون چند

براساس نتایج حاصل از مدل ترکیبی، ۶/۵۶ درصد از مساحت منطقه در کلاس حساسیت خیلی کم و ۱۴/۲۶ درصد در کلاس حساسیت کم قرار گرفته است و در مقابل ۱۳/۶۵ درصد در کلاس حساسیت خیلی زیاد، ۵۳/۱۷ درصد در کلاس حساسیت زیاد و ۱۲/۳۳ درصد در کلاس حساسیت متوسط قرار گرفته است. این مقادیر براساس روش نظریه شواهد و در روش رگرسیون چند متغیره به ترتیب (۱۴/۱۶، ۷/۰۴، ۱۵/۸۴، ۵۰/۶۳ و ۵۰/۳۱ و ۱۲/۱۲ درصد) و (۱۱/۰۴، ۴۰/۰۵ و ۲۷/۴۵ و ۱۱/۴۴ درصد) برای کلاس‌های

حساسیت خیلی زیاد و زیاد قرار گرفته اند که این مقدار در روش نظریه شواهد $80/54$ و در روش رگرسیون چند متغیره $80/04$ می‌باشد.

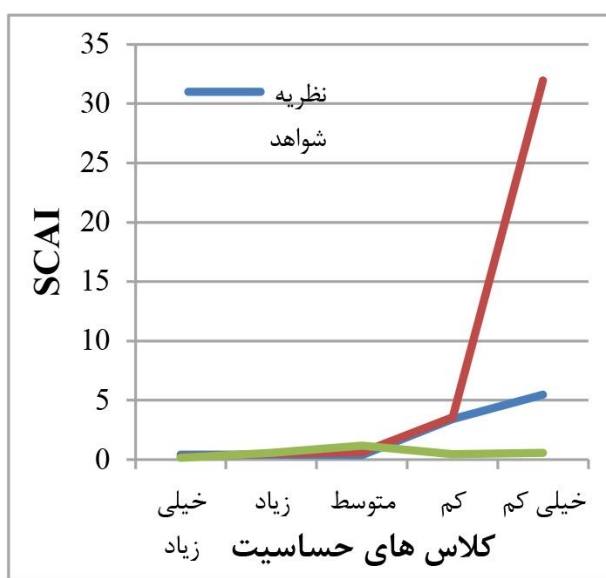
متغیره به ترتیب $73/96$ و $71/44$ درصد می‌باشد. طبق شکل در روش ترکیبی از کل مساحت خندق‌های اعتبارسنجی، $90/17$ درصد در کلاس

جدول ۵: رابطه آماری بین پارامترهای موثر در فرسایش خندق و خندق‌ها با روش نظریه شواهد

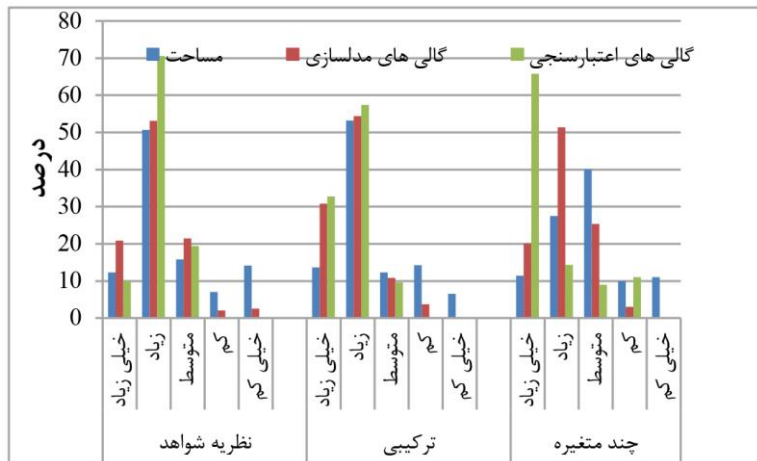
عامل	کلاس	تعداد کل پیکسل‌ها	پیکسل‌های خندق	$m(S_P)_{Eij}$	$m(\bar{S}_P)_{Eij}$	$m(\theta)_{Eij}$
ارتفاع	<۸۶۵	۴۲۷۸۵۹	۳۱۵۸	.۰/۲۷۰	.۰/۱۹۰	.۰/۵۳۸
	۸۶۵ - ۱۰۴۶	۳۱۹۸۵۱	۲۰۴۶	.۰/۲۲۴	.۰/۲۰۴	.۰/۵۶۰
	۱۰۴۶ - ۱۲۴۴	۲۷۹۷۹۹	۲۳۷۳	.۰/۳۱۱	.۰/۱۸۵	.۰/۵۰۳
	۱۲۴۴ - ۱۵۲۷	۱۳۹۱۲۱	۶۹۸	.۰/۱۸۳	.۰/۲۰۷	.۰/۶۸
	>۱۵۲۷	۵۹۸۴۹	.	.	.۰/۲۱۱	.۰/۷۸۸
	<۵	۹۴۲۲۳۸	۶۵۲۵	.۰/۲۹۹	.۰/۱۸۵	.۰/۵۱۵
شیب	۵ - ۱۰	۱۲۴۰۷۶	۱۲۰۴	.۰/۴۲۰	.۰/۱۹۲	.۰/۳۸۶
	۱۰ - ۲۰	۹۰۱۶۸	۴۹۹	.۰/۲۲۸	.۰/۲۰۵	.۰/۵۵۵
	۲۰ - ۳۰	۴۸۲۳۵	۴۷	.۰/۰۴۱	.۰/۲۰۹	.۰/۷۴۸
	>۳۰	۲۱۳۹۱	.	.	.۰/۲۰۶	.۰/۷۹۳
شكل	مقرر	۴۳۰۵۷۰	۳۱۳۰	.۰/۳۶۰	.۰/۳۱۹	.۰/۳۲۰
	هموار	۵۵۵۱۹۷	۳۵۹۹	.۰/۱۲۱	.۰/۳۴۴	.۰/۳۳۴
	محدب	۲۴۰۳۴۱	۱۵۴۶	.۰/۳۱۸	.۰/۳۳۶	.۰/۳۴۴
TWI	<-۱	۳۱۵۰۳۵	۱۸۰۱	.۰/۱۷۹	.۰/۲۵۹	.۰/۵۶۱
	-۱ - ۱	۶۳۹۸۴۶	۳۹۷۲	.۰/۱۹۴	.۰/۲۶۶	.۰/۵۳۸
	۱ - ۳	۲۵۹۶۹۶	۱۷۲۳	.۰/۲۰۸	.۰/۲۴۸	.۰/۵۴۳
	>۳	۱۰۹۴۷۷	۱۴۴۶	.۰/۴۱۷	.۰/۲۲۵	.۰/۳۵۶
	<۵۰	۶۰۴۳۱۵	۳۹۰۲	.۰/۱۷۷	.۰/۲۰۶	.۰/۶۱۵
	۵۰ - ۱۵۰	۱۹۹۰۸۷	۱۱۶۶	.۰/۱۶۱	.۰/۲۰۴	.۰/۶۳۴
SPI	۱۵۰ - ۳۰۰	۲۷۷۰۴۴	۲۰۵۱	.۰/۲۰۳	.۰/۱۹۴	.۰/۶۰۱
	۳۰۰ - ۴۵۰	۱۹۶۵۸۰	۱۱۹۴	.۰/۱۸۷	.۰/۲۰۲	.۰/۶۳۰
	>۴۵۰	۸۴۷۴۱	۸۹۱	.۰/۲۹۰	.۰/۱۹۲	.۰/۵۱۷
	<۱۵	۳۲۷۴۶۷	۲۲۴۴	.۰/۱۷۲	.۰/۱۶۶	.۰/۶۶۱
	۱۵ - ۳۰	۱۸۷۳۸۴	۱۳۲۴	.۰/۱۷۸	.۰/۱۶۵	.۰/۶۵۶
	۳۰ - ۵۵	۱۸۰۹۲۰	۱۱۵۴	.۰/۱۶۱	.۰/۱۶۸	.۰/۶۷۰
STI	۵۵ - ۷۰	۲۲۴۸۱۲	۱۵۹۱	.۰/۱۷۱	.۰/۱۶۶	.۰/۶۶۲
	۷۰ - ۸۵	۲۰۳۵۸۶	۱۴۹۶	.۰/۱۸۵	.۰/۱۶۳	.۰/۶۵۰
	>۸۵	۹۲۰۳۹	۴۷۶	.۰/۱۳	.۰/۱۶۹	.۰/۶۹۹
	< -۴۲	۱۴۵۴۳۸	۱۱۵۱	.۰/۲۳۰	.۰/۱۹۴	.۰/۵۷۴
	-۴۲ - -۱۰	۳۰۹۷۰۷	۲۲۴۰	.۰/۲۱۰	.۰/۱۹۴	.۰/۵۹۴
	-۱۰ - ۱۸	۴۴۲۳۰۰	۲۷۷۱	.۰/۱۸۲	.۰/۲۰۷	.۰/۶۰۹
شاخص همگرایی	۱۸ - ۵۱	۲۵۰۰۵۷	۱۵۹۷	.۰/۱۸۵	.۰/۲۰۲	.۰/۶۱۱
	>۵۱	۷۸۷۰۷	۵۱۶	.۰/۱۹۰	.۰/۲۰۰	.۰/۶۰۹
	< +۰/۸۵	۲۶۱۴۱۳	۴۲۳	.۰/۰۶۶	.۰/۳۰۴	.۰/۶۲۹
	۰/۸۵ - ۱/۵	۳۸۶۹۶۳	۳۳۰۶	.۰/۲۴۵	.۰/۲۲۱	.۰/۴۳۳
	۱/۵ - ۲/۱	۳۹۲۷۹۵	۳۴۸۸	.۰/۳۵۹	.۰/۲۱۴	.۰/۴۲۶
	>۱/۲	۱۸۴۹۸۶	۱۰۴۸	.۰/۲۲۸	.۰/۲۵۹	.۰/۵۱۱
فاصله از آبراهه	< ۱۵۰	۵۲۴۷۶۶	۵۸۶۴	.۰/۰۲۷	.۰/۱۰۴	.۰/۳۶۷
	۱۵۰ - ۳۰۰	۳۶۰۵۹۵	۱۴۴۳	.۰/۱۸۷	.۰/۲۴۰	.۰/۵۷۱
	۳۰۰ - ۵۰۰	۲۰۸۰۷۰	۶۹۴	.۰/۱۰۶	.۰/۲۲۷	.۰/۶۱۶
	۵۰۰ - ۹۰۰	۹۹۹۹۸	۲۷۴	.۰/۱۲۸	.۰/۲۱۶	.۰/۶۵۵
	> ۹۰۰	۳۲۷۲۸	.	.	.۰/۲۱۱	.۰/۷۸۸
کاربری	پهنه نمکی	۴۰۸۸	۲	.۰/۰۲۲	.۰/۲۰۶	.۰/۷۷۰

ادامه جدول ۵

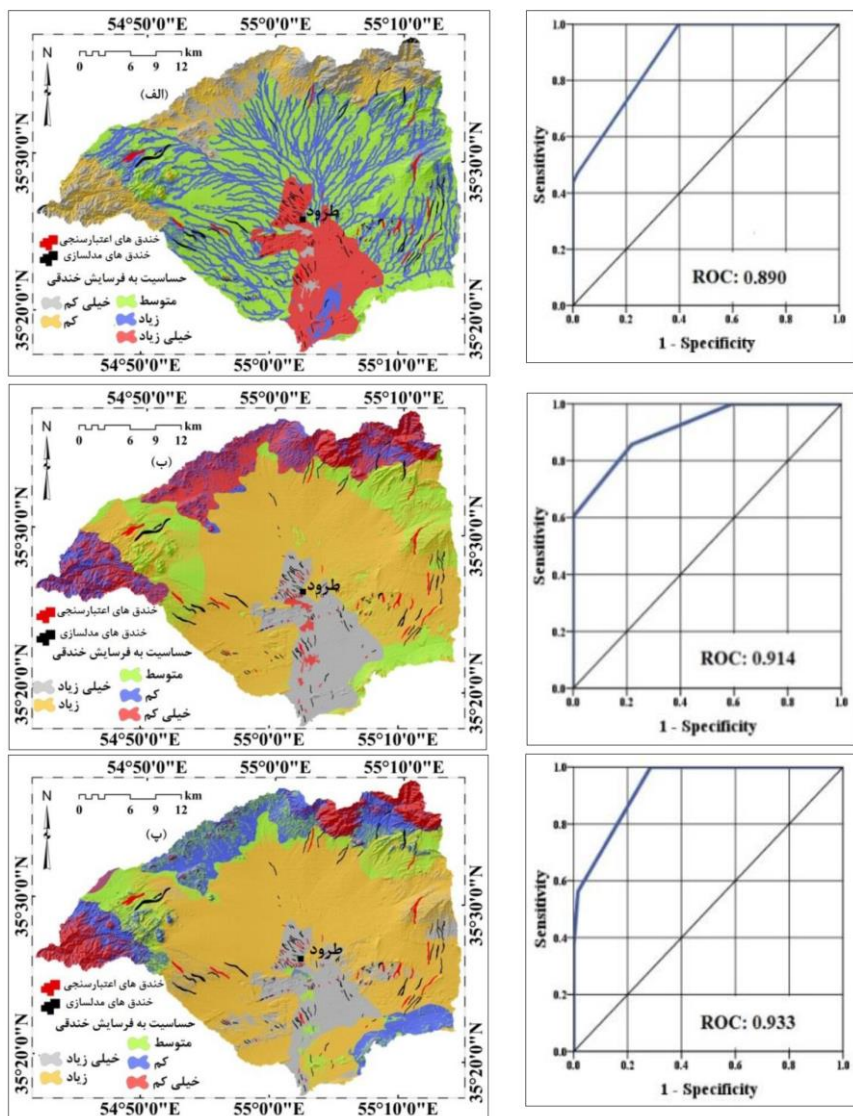
اراضی	کشاورزی	۲۳۵۱	۱	.۰/۰۱۹	.۰/۲۰۵	.۰/۷۷۴
	صخره	۲۵۳۵۹۲	۳۵۶	.۰/۰۶۵	.۰/۲۴۳	.۰/۶۸۵
	زمین بایر	۱۵۰۶۹۳	۱۷۰۹	.۰/۵۳۶	.۰/۱۸۵	.۰/۲۷۸
	مرتع	۸۱۴۴۷۱	۶۱۵۰	.۰/۳۵۵	.۰/۱۵۴	.۰/۴۹۰
	< -۰/۰۰۸	۷۲۷۷۳۵	۸۲۴۱	.۰/۴۸۵	.۰/۲۹۲	.۰/۲۲۱
NDVI	-۰/۰۰۸ -۰/۰۱۲	۲۳۵۹۸۰۴	۱۶۳۹۸	.۰/۲۹۶	.۰/۳۱۹	.۰/۳۸۳
	> ۰/۰۱۲	۲۳۴۷۳۵۰	۱۱۹۶۱	.۰/۲۱۷	.۰/۳۸۸	.۰/۳۹۴
	Qft2	۳۹۵۳۷۱	۲۱۷۴	.۰/۰۴۱	.۰/۰۷۷	.۰/۸۸۰
	Jph	۲۷۸۶۹	۹۶	.۰/۰۲۶	.۰/۰۷۲	.۰/۹۰۱
	Jdav	۵۸۴	.	.	.۰/۰۷۱	.۰/۹۲۸
	Qft1	۱۰۳۴۱۰	۱۷۰۸	.۰/۱۲۶	.۰/۰۶۱	.۰/۸۱۱
	PIQc	۱۵۰۱۳۵	۱۰۹۴	.۰/۰۵۵	.۰/۰۷۰	.۰/۸۷۴
	Ek	۱۲۹۲۰	۱۶۳	.۰/۰۹۶	.۰/۰۷۰	.۰/۸۳۲
	K	۳۳۴۴۳۱	۱۱۵	.۰/۰۲۶	.۰/۰۷۲	.۰/۹۰۱
لیتوژوژی	Ed.avs	۱۰۴۰۸۰	۲۵	.۰/۰۰۱	.۰/۰۷۷	.۰/۹۲۰
	E1c	۱۷۲۴۸	۲۰۷	.۰/۰۹۱	.۰/۰۷۰	.۰/۸۳۷
	Edav	۱۳۲۳۵۲	۶۶۱	.۰/۰۳۷	.۰/۰۷۳	.۰/۸۸۸
	Murm	۱۵۵۰۹۴	۱۳۷۸	.۰/۰۶۷	.۰/۰۶۷	.۰/۸۶۴
	Egr	۱۱۳۴۵	۲۲۲	.۰/۱۵۰	.۰/۰۷۰	.۰/۷۷۹
	E2s	۵۱۴۲	۱۶۹	.۰/۲۵۶	.۰/۰۷۰	.۰/۶۷۳
	Qsf	۷۵۲۱۴	۲۰۶	.۰/۰۲۰	.۰/۰۷۴	.۰/۹۰۵
	اریدی سل	۲۲۸۸	.	.	.۰/۰۷۷	.۰/۷۹۲
	انتی سل/اریدی سل	۷۵۳۳۸۳	۶۱۵۹	.۰/۰۳۷	.۰/۱۳۴	.۰/۳۲۷
نوع خاک	انتی سل/صخره	۳۸۸۴۱۹	۱۸۸۷	.۰/۳۱۸	.۰/۲۳۳	.۰/۴۴۷
	کفه های نمکی	۱۳۳۵	.	.	.۰/۰۷۷	.۰/۷۹۲
	صخره	۷۸۴۷۰	۱۷۲	.۰/۱۴۳	.۰/۲۱۶	.۰/۶۳۹
	< ۵۰۰	۱۱۰۰۹۲	۹۱۸	.۰/۲۱۸	.۰/۱۹۰	.۰/۵۹۰
فاصله از جاده	۵۰۰ - ۱۰۰۰	۱۰۳۴۵۶	۶۹۴	.۰/۱۷۵	.۰/۱۹۵	.۰/۸۲۹
	۱۰۰۰ - ۱۵۰۰	۸۱۴۶۵	۸۴۹	.۰/۲۷۳	.۰/۱۸۷	.۰/۵۳۸
	۱۵۰۰ - ۲۰۰۰	۸۵۶۹۸	۵۶۰	.۰/۱۷۰	.۰/۱۹۵	.۰/۸۳۳
	> ۲۰۰۰	۸۴۵۴۲۸	۵۲۵۴	.۰/۱۶۲	.۰/۲۳۰	.۰/۶۰۷



شکل ۵: مقادیر شاخص SCAI



شکل ۶: مقادیر مساحت کل و مساحت گالی‌ها در هر یک از کلاس‌ها



شکل ۷: نقشه حساسیت فرسایش آبکنندی به همراه منحنی ROC، (الف) مدل چند متغیره، (ب) روش وزن شاهد، (پ) روش ترکیبی.

نتیجه گیری

با توجه به نگرانی‌های موجود در رابطه با فرسایش آبکندي و آثار مخرب آن، شناسایي مناطق حساس به اين رويداد از اهميت قابل توجهی برخوردار است. در اين پژوهش به منظور تهييه نقشه حساسیت فرسایش آبکندي و همچنین بررسی دقیق تاثير عدم اطمینان مکانی در نتایج از روش‌های نظریه شواهد دمپستر-شفر و رگرسیون چند متغیره مکانی و همچنین به منظور برطرف کردن معایب روش‌های انفرادی فوق الذکر و بالا بردن مزایای آنها از ترکیب اين دو روش نیز استفاده گردید. بدین منظور در ابتدا نقشه پراکنش فرسایش آبکندي با استفاده از منابع مختلف تهييه گردید و به صورت تصادفي به دو گروه مدل‌سازی و صحت سنجی تقسیم گردید. با استفاده از بررسی منابع، و ویژگی‌های منطقه مطالعاتی در ابتدا ۱۹ پارامتر موثر در رخداد فرسایش آبکندي در منطقه مطالعاتی تعیین گردید و پس از انجام آزمون هم خطی، ۱۴ پارامتر شامل ارتفاع، شب، شکل شب، شاخص خیسی توپوگرافی (TWI)، شاخص قدرت آبراهه (SPI)، شاخص حمل رسوب (STI)، شاخص همگرایی جريان، فاصله از آبراهه، تراکم آبراهه، كاريبری اراضي، شاخص نرمال شده تفاضل پوشش گياهی (NDVI)، ليتلوزي، نوع خاک، و فاصله از جاده برای مدل‌سازی انتخاب گردید. نتایج حاصل از تعیین وزن پارامترها با روش رگرسیون چند متغیره خطی نشان داد که پارامترهای كاريبری اراضي، شب و فاصله از آبراهه بيشترین تاثير را در ايجاد فرسایش آبکندي داشته‌اند. اعتبار سنجي نقشه‌های حساسیت حاصل از روش‌های نظریه شواهد دمپستر-شفر، رگرسیون چند متغیره و روش ترکیبی با روش‌های AUC و SCAI نشان داد که روش ترکیبی دارای دقت پیش‌بینی عالی

از آنجايی که در اعتبار سنجي مدل‌ها نمي‌توان از خندق‌های استفاده کرد که در تهييه نقشه حساسیت فرسایش آبکندي استفاده شده است، از بين کل پنهنه‌های آبکندي در منطقه مطالعاتي ۳۰ درصد برای اعتبار سنجي در نظر گرفته شد و با استفاده از آن داده‌ها اعتبار سنجي گردید (رحمتی و همكاران، ۲۰۱۶؛ پورقاسمي و همكاران، ۲۰۱۷). با استفاده از منحنی مشخصه عملکرد نسبی (ROC) و سطح زير منحنی آن (AUC) قدرت پیش‌بینی مدل‌ها و با استفاده از شاخص سطح سلول هسته قدرت تفكیک بين طبقات در مدل‌ها مورد ارزیابي قرار گرفت (سوزان و دیوران، ۲۰۰۴). نتایج حاصل از اعتبار سنجي مدل‌ها براساس مساحت زير منحنی (ROC) در شکل ۷ و براساس شاخص SCAI در شکل ۵ نشان داده شده است. براساس شکل ۷، مدل ترکیبی با مقدار مساحت زير منحنی ۰/۹۳۳ داراي دقت پیش‌بینی بالاتری نسبت به مدل‌های انفرادی رگرسیون چند متغیره (۰/۸۹۰) و روش نظریه شاهد (۰/۹۱۴) می‌باشد که اين موضوع بيانگر قدرت پیش‌بینی بالاتر مدل ترکیبی نسبت به مدل‌های انفرادی می‌باشد که با نتایج تحقیقات (اوامر و همكاران، ۲۰۱۴؛ پورقاسمي و همكاران، ۲۰۱۷؛ عرب عامري و همكاران، ۲۰۱۷) مطابقت دارد. نتایج شاخص SCAI نيز نشان داد که مدل ترکیبی نسبت به مدل‌های انفرادی داراي نتایج بهتری بوده و با دقت بالاتری به تفكیک بين طبقات پرداخته است به گونه اى که مقادير SCAI در کلاس‌های حساسیت خیلی کم و کم، زياد و در کلاس‌های حساسیت زياد و خیلی زياد، کم می‌باشد و داراي روند صعودی از کلاس حساسیت خیلی زياد به سمت کلاس خیلی کم می‌باشد.

شیب ملایم، تراکم بالای آبراهه، فقدان پوشش گیاهی، و داشتن رسوبات مارنی و آهکی دارای حساسیت خیلی زیاد نسبت به فرسایش آبکندي می‌باشد. با توجه به قرار گرفتن مناطق مسکونی و تاسیسات زیربنایی مانند جاده و خطوط انتقال برق در این منطقه پیشنهاد می‌گردد اقداماتی مدیریتی مانند احیاء پوشش گیاهی و ایجاد فرقه‌ای موقت چند ساله به منظور تقویت پوشش گیاهی به همراه استفاده از سازه‌های مکانیکی به منظور حفاظت از خاک در مقابل فرسایش آبی به عنوان اقدامات عملی در جهت کاهش فرسایش خاک و مهار فرسایش آبکندي در منطقه صورت گیرد.

-شادر، ص.، ۱۳۹۳. کاربرد منطق فازی در بررسی فرسایش خندقی با استفاده از سیستم اطلاعات جغرافیایی (مطالعه موردی: حوضه طرود)، اطلاعات جغرافیایی سپهر، دوره ۲۳، شماره ۹۲، ص ۳۵ - ۴۲.

-صابری چناری، ک.، بهره مند، ع.ا.، بردى شیخ، و. و بایرام کمکی، ج.، ۱۳۹۵. پهنه‌بندی خطر فرسایش خندقی با استفاده از مدل دمپستر-شفر در حوضه آبخیز قرنووه، استان گلستان، مجله اکو هیدرولوژی، سال سوم، شماره ۲، ص ۲۱۹-۲۳۱.

-صفاری، ا.، احمدی، م. و رحیمی هرآبادی، س.، ۱۳۹۴. پهنه‌بندی فرسایش خندقی به وسیله مدل‌های AHP و ANP در حوضه دشت کهور-استان فارس، پژوهش‌های دانش زمین، سال ۶، شماره ۲۴، ص ۹۴ - ۱۱۰.

-عرب عامری، ع.ر. و شیرانی، ک.، ۱۳۹۵. اولویت‌بندی عوامل موثر بر وقوع زمین لغزش و پهنه‌بندی خطر آن با استفاده از تئوری احتمالاتی دمپستر شفر، مطالعه موردی: حوضه ونک، استان

۰/۹۳۳ (٪/٪/٪) بوده و نسبت به روش‌های دمپستر شیفر ۰/۹۱۴ (٪/٪/٪) و رگرسیون چند متغیره ۰/۸۹۰ (٪/٪/٪) دارای توانایی بالاتری در شناسایی مناطق حساس به فرسایش آبکندي می‌باشد. طبق نقشه حاصل از روش ترکیبی، ۶۲/۹۴ درصد از منطقه مطالعاتی دارای حساسیت زیاد و خیلی زیاد نسبت به فرسایش خندقی می‌باشد که عمدها در قسمت‌های مرکزی منطقه مطالعاتی قرار گرفته است. این موضوع بیانگر حساسیت بالای منطقه نسبت به فرسایش خندقی می‌باشد و در مقابل ۲۰/۸۲ درصد دارای حساسیت کم و خیلی کم نسبت به فرسایش خندقی می‌باشند. قسمت‌های مرکزی منطقه مطالعاتی به دلیل داشتن

منابع

- اکبری، م.، بشیری، م. و رنگ آور، ع.ا.، ۱۳۹۶. کاربرد الگوریتم‌های داده‌کاوی در تحلیل حساسیت و پهنه‌بندی مناطق مستعد به فرسایش آبکندي در حوضه‌های شاخص استان خراسان رضوی، پژوهش‌های فرسایش محیطی، سال ۷، شماره ۲، ص ۱۶ - ۴۲.
- تجربی، ع.ر. و کاردل، ف.، ۱۳۹۴. تاثیر فرسایش خندقی بر رطوبت خاک در دو کاربری مرتع و زراعت دیم رها شده در زمین‌های لسی (مطالعه موردی: حوزه آبخیز کال شور استان گلستان)، مدیریت خاک و تولید پایدار، سال ۵، شماره ۲، ص ۱۸۱ - ۱۹۵.
- شیرانی، ک.، حیدری، ف. و عرب عامری، ع.ر.، ۱۳۹۶. مقایسه روش‌های شبکه عصبی مصنوعی و رگرسیون چند متغیره در پهنه‌بندی خطر زمین لغزش، مطالعه موردی: حوضه ونک، استان اصفهان، مهندسی و مدیریت آبخیز، سال ۹، شماره ۴، ص ۴۵۱ - ۴۶۴.

محمودآبادی، ا.، کریمی، ع.ر.، حق نیا، غ.ح. و سپهر، ع.، ۱۳۹۶. ارزیابی عملکرد رگرسیون چند متغیره، شبکه عصبی مصنوعی و برنامه‌ریزی بیان ژن در تخمین برخی خصوصیات خاک، پژوهش‌های حفاظت آب و خاک، سال ۲۴، شماره ۲، ص ۴۴-۲۳.

اصفهان، مهندسی و مدیریت آبخیز، سال ۸ شماره ۱، ص ۹۳-۱۰۶. قربانی نژاد، س.، رحمتی، ا. و نورمحمدی، ف.، ۱۳۹۶. مدل‌سازی پتانسیل رخداد فرسایش‌های آبکندی در منطقه سیمره با استفاده از مدل‌های آنتروپی شانون و شاخص آماری، پژوهش‌های فرسایش محیطی، سال ۷، شماره ۱، ص ۶۹-۸۹.

- Arabameri, A.R., Pourghasemi, H.R. and Cerdá, A., 2018a. Erodibility prioritization of sub-watersheds using morphometric parameters analysis and its mapping: A comparison among TOPSIS, VIKOR, SAW, and CF multi-criteria decision making models, *Science of the Total Environment*, v. 613-614, p. 1385-1400.
- Arabameri, A., Pradhan, B., Rezaei, K., Yamani, M., Pourghasemi, H.R. and Lombardo, L., 2018b. Spatial modelling of gully erosion using Evidential Belief Function, Logistic Regression and a new ensemble EBF-LR algorithm, *Land Degradation and Development*, v. 29(11), p. 4035-4049.
- Arabameri, A., Pradhan, B., Pourghasemi, H.R., Rezaei, K. and Kerle, N., 2018c. Spatial Modelling of Gully Erosion Using GIS and R Programing: A Comparison among Three Data Mining Algorithms, *Applied sciences*, v. 8(8), p. 751-769.
- Arabameri, A., Rezaei, K., Pourghasemi, H.R., Lee, S. and Yamani, M., 2018d. GIS-based gully erosion susceptibility mapping: a comparison among three data-driven models and AHP knowledge-based technique, *Environmental Earth Sciences*, v. 77, p. 435-452.
- Arabameri, A.R., Pourghasemi, H.R. and Yamani, M., 2017. Applying different scenarios for landslide spatial modeling using computational

intelligence methods, *Environmental Earth Sciences*, v. 76, p. 137-149.

-Agnesi, V., Angileri, S., Cappadonia, C., Conoscenti, C. and Rotigliano, E., 2011. Multi-parametric GIS analysis to assess gully erosion susceptibility: a test in southern Sicily, Italy, *Landf Anal*, v. 7, p. 15-20.

-Conoscenti, C., Agnesi, V., Angileri, S., Cappadonia, C., Rotigliano, E. and Marker, M., 2013. A GIS-based approach for gully erosion susceptibility modelling: a test in Sicily, Italy, *Environmental earth sciences*, v. 70(3), p. 1179-1195.

-Conoscenti, C., Angileri, S., Cappadonia, C., Rotigliano, E., Agnesi, V. and Ma'rker, M., 2014. Gully erosion susceptibility assessment by means of GIS-based logistic regression: a case of Sicily (Italy), *Geomorphology*, v. 204(1), p. 399-411.

-Conforti, M., Aucelli, P.P., Robustelli, G. and Scarciglia, F., 2011. Geomorphology and GIS analysis for mapping gully erosion susceptibility in the Turbolo stream catchment (Northern Calabria, Italy), *Natural hazards*, v. 56(3), p. 881-898.

-Conoscenti, C., Agnesi, V., Cama, M., Alamaru Caraballo-Arias, N. and Rotigliano, E., 2018. Assessment of Gully Erosion Susceptibility Using Multivariate Adaptive Regression Splines and Accounting for Terrain

- Connectivity, Land Degradation and Development, v. 29 (3), p. 724-736.
- Dempster, A.P., 1967. Upper and Lower Probabilities Induced by a Multivalued Mapping, Annals of Mathematical Statistics, v. 38, p. 325-339.
- Dube, F., Nhapi, I., Murwira, A., Gumindoga, W., Goldin, J. and Mashauri, D.A., 2014. Potential of weight of evidence modelling for gully erosion hazard assessment in Mbire District-Zimbabwe. Physics and Chemistry of the Earth, v. 67, p. 145-152.
- Fayyad, U., Piatetsky-Shapiro, G. and Smyth, P., 1996. From data mining to knowledge discovery in databases, Artificial Intelligence magazine, v. 17(3), p. 37-54.
- Fox, G.A., Sheshukov, A., Cruse, R., Kolar, R.L., Guertault, L., Gesch, K.R. and Dutnall, R.C., 2016. Reservoir sedimentation and upstream sediment sources: perspectives and future research needs on streambank and gully erosion, Environmental Management, v. 57 (5), p. 945-955.
- Gong, J.G., Jia, Y.W., Zhou, Z.H., Wang, Y., Wang, W.L. and Peng, H., 2011. an Experimental Study on Dynamic Processes of Ephemeral Gully Erosion in Loess Landscapes, Geomorphology, v. 125, p. 203-213.
- Guo-liang, D., Yong-shuang, Z., Javed, I. and Xin, Y., 2017. Landslide susceptibility mapping using an integrated model of information value method and logistic regression in the Bailongjiang watershed, Gansu Province, China, J Mt Sci, v. 14(2), p. 249-268.
- NASA Earth Observatory, 2000. Measuring Vegetation.
- Mendel, J.M., 1995. Fuzzy Logic Systems for Engineering, Proceedings of IEEE, v. 83, p. 345-377.
- McCloskey, G.L., Wasson, R.J., Boggs, G.S. and Douglas, M., 2016. Timing and causes of gully erosion in the riparian zone of the semi-arid tropical Victoria River, Australia, management implications, Geomorphology, v. 266, p. 96-104.
- Moore, I.D., Gessler, P.E., Nielsen, G.A. and Peterson, G.A., 1993. Soil attribute prediction using terrain analysis, Soil Science Society of America Journal, v. 57(2), p. 443-452.
- Milaghardan, A.H., Delavar, M. and Chehreghan, A., 2016. Uncertainty in landslide occurrence prediction using Dempster-Shafer theory, Modeling Earth Systems and Environment, v. 2, p. 188.
- Olteanu-Raimond, A.M., Mustiere, S. and Ruas, A., 2015. Knowledge formalization for vector data matching using belief theory, J Spatial Inf Sci, v. 4, p. 21-46.
- Pourghasemi, H.R. and Kerle, N., 2016. Random forests and evidential belief function-based landslide susceptibility assessment in Western Mazandaran Province, Iran, Environmental Earth Sciences, v. 75, p. 185.
- Pourghasemi, H.R., Yousefi, S., Kornejady, A. and Cerdà, A., 2017. Performance assessment of individual and ensemble data-mining techniques for gully erosion modeling, Science of the Total Environment, v. 609, p. 764-775.
- Pradhan, B., 2011. An Assessment of the Use of an Advanced Neural Network Model with Five Different Training Strategies for the Preparation of Landslide Susceptibility Maps, Journal of Data Science, v. 9, p. 65-81.
- Rahmati, O., Tahmasebipour, N., Haghizadeh, A., Pourghasemi, H.R. and Feizizadeh, B., 2017. Evaluation of different machine learning models for predicting and mapping the

- susceptibility of gully erosion, *Geomorphology*, v. 298, p. 118-137.
- Rahmati, O., Haghizadeh, A., Pourghasemi, H.R. and Noormohamadi, F., 2016. Gully erosion susceptibility mapping: the role of GIS based bivariate statistical models and their comparison, *Nat Hazards*, v. 82, p. 1231-1258.
- Shit, P.K., Paira, R., Bhunia, G. and Maiti, R., 2015. Modeling of potential gully erosion hazard using geo-spatial technology at Garbheta block, West Bengal in India, *Modeling Earth Systems and Environment*, v. 1(1-2), p. 1-16.
- Süzen, M.L. and Doyuran, V., 2004. A comparison of the GIS based landslide susceptibility assessment methods: multivariate versus bivariate, *Environmental Geology*, v. 45(5), p. 665-679.
- Shafer, G., 1976. *A Mathematical Theory of Evidence*, Princeton University Press, NJ.
- Umar, Z., Pradhan, B., Ahmad, A., Neamah Jebur, M. and Tehrany, M.S., 2014. Earthquake induced landslide susceptibility mapping using an integrated ensemble frequency ratio and logistic regression models in West Sumatera Province, Indonesia, *Catena*, v. 118, p. 124-135.
- Van Westen, C.J., 1994. GIS in landslide hazard zonation: a review, with examples from the Andes of Colombia. In: Price MF, Heywood DI, Mountain environments and geographic systems, Taylor and Francis publishers, p. 135-165.
- Zaman, K., Rangavajhala, S., McDonald, M.P. and Mahadevan, S.A., 2011. Probabilistic Approach for Representation of Interval Uncertainty. Reliability Engineering and System Safety, v. 96, p. 117-130.